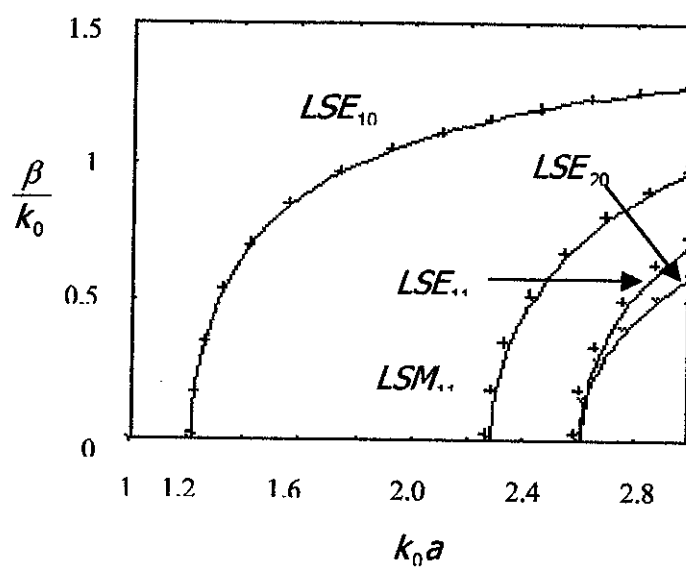


## บทที่ 4

### ผลการทดสอบ และ ผลการวิเคราะห์

#### 4.1 ท่อน้ำคั่นบรรจุด้วยไดอะลีกตริก

รูป 4.1 แสดงผลการคำนวณกราฟดิฟเฟอร์รันที่ได้ โดยสันทิบเป็นผลที่ได้จากวิธีไฟไนต์อิเมนต์เมื่อได้รับเงื่อนไขไดเวอร์เจนซ์ต้องเท่ากับศูนย์แล้ว สัญลักษณ์ + และ x คือผลเฉลยแม่นตรงที่ได้จากวิธีเชิงวิเคราะห์ ตัวอย่างการเปรียบเทียบค่า  $\frac{\beta}{k_0}$  ที่  $k_0 a = 3.0$  ของโนดมูลฐาน  $LSE_{10}$ ,  $LSE_{11}$ ,  $LSE_{11}$  และ  $LSE_{20}$  ที่คำนวณจากวิธีไฟไนต์อิเมนต์และวิธีเชิงวิเคราะห์ เมื่อทำการแบ่งอิเมนต์ดังแสดงในรูป 3.4 แสดงในตาราง 4.1



รูป 4.1 กราฟดิฟเฟอร์รันที่ได้จากวิธีไฟไนต์อิเมนต์ที่ใช้สานามแม่เหล็กตามขวาง 2 องค์ ประกอบของท่อน้ำคั่นบรรจุด้วยไดอะลีกตริกเทียบกับผลเฉลยแม่นตรงที่ได้จากวิธีเชิงวิเคราะห์

ตาราง 4.1 ตัวอย่างของค่า  $\beta/k_0$  ที่  $k_0a = 3.0$  ที่คำนวณจากวิธีไฟไนต์อิลิเมนต์และวิธีเชิงวิเคราะห์รวมขนาดความผิดพลาด เมื่อทำการแบ่งอิลิเมนต์ดังแสดงในรูป 3.2

โนมด	ผลเฉลยแม่นตรงของ ค่า $\beta/k_0$ ที่ $k_0a = 3.0$	$\beta/k_0$ ที่ $k_0a = 3.0$ จากวิธีไฟไนต์อิลิ เมนต์	ขนาดความผิดพลาด ของ $\beta/k_0$ ที่ $k_0a = 3.0$ จากวิธี ไฟไนต์อิลิเมนต์
$LSE_{10}$	1.275756	1.274936	0.064%
$LSM_{11}$	0.971538	0.962614	0.919%
$LSE_{11}$	0.728649	0.702097	3.644%
$LSE_{20}$	0.593897	0.580359	2.279%

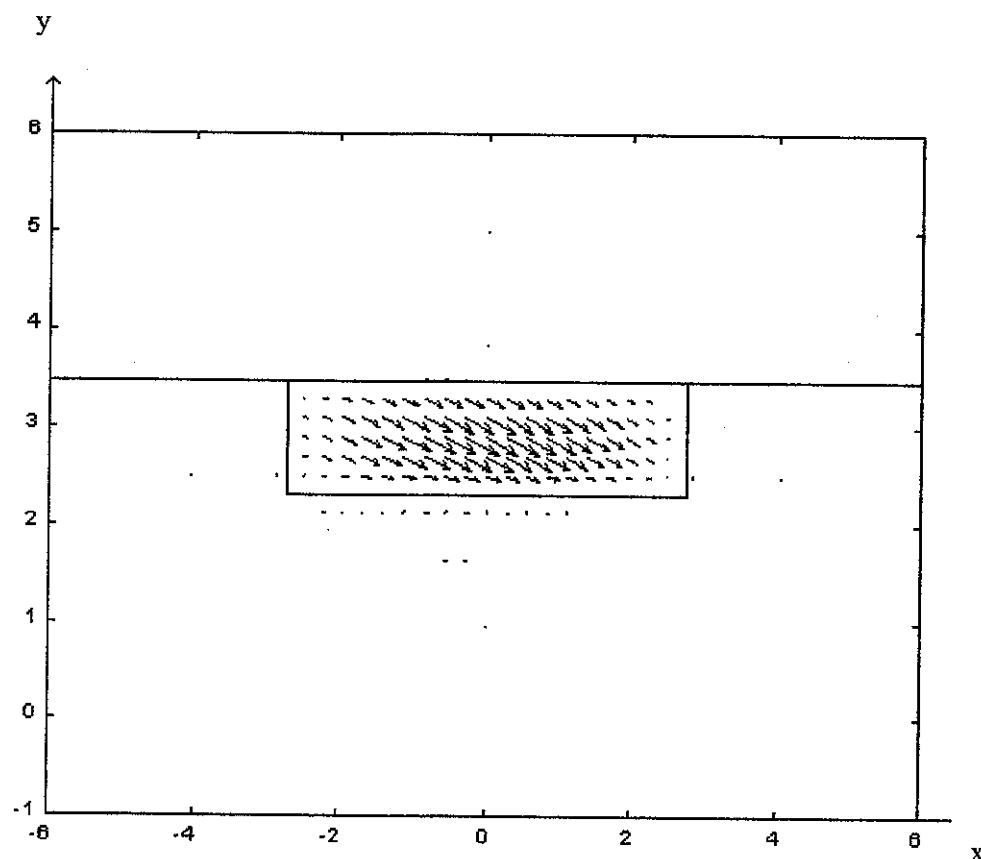
จากรูป 4.1 พบร้าโนมนุสฐาน ( $LSE_{10}$ ) สอดคล้องกับผลเฉลยแม่นตรงที่ได้จากวิธีเชิงวิเคราะห์ ล่วงโนม  $LSM_{11}$ ,  $LSE_{11}$  และ  $LSE_{20}$  ต่างจากผลเฉลยแม่นตรงมากขึ้นเมื่อเพิ่มจำนวนอิลิเมนต์ให้สูงขึ้น และผลการคำนวณที่ได้พบว่าไม่มีการประกูลของผลเฉลยปลอมเทียมแต่อย่างใด

จากผลการวิเคราะห์ที่ได้แสดงให้เห็นว่า วิธีไฟไนต์อิลิเมนต์ที่ใช้สำนวนแม่เหล็กตามขวาง 2 องค์ประกอบ ที่เสนอโดย Hayata และคณะ (1989) สามารถวิเคราะห์ท่อน้ำคัลลี่แบบไอโซทรอปิก ไม่เอกพันธุ์ได้

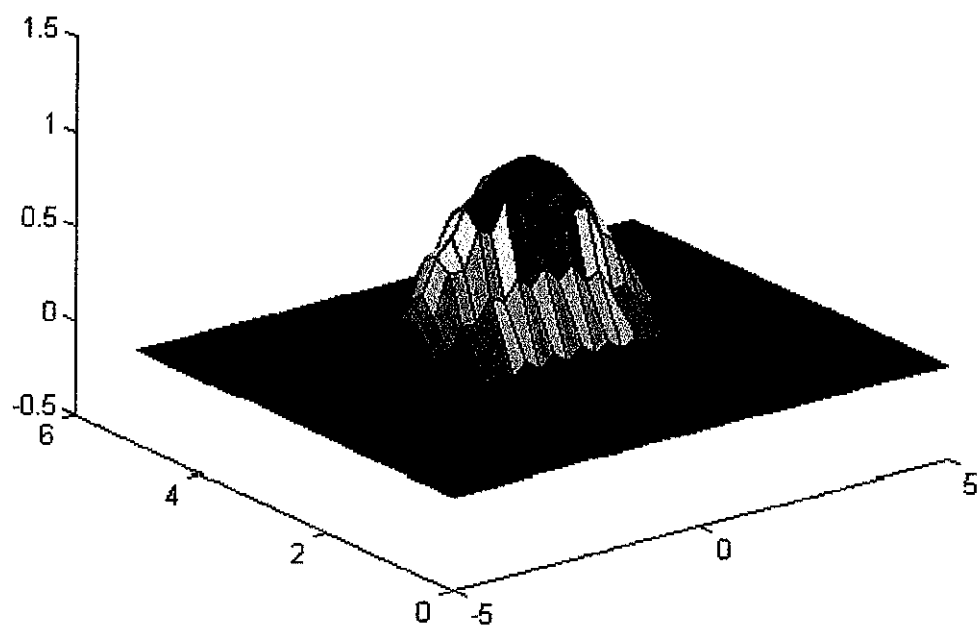
#### 4.2 ท่อน้ำแบบฝังในชั้นสารทรายที่แกนเป็นแอนไฮดรอปิกตามขวาง

รูปข้างล่างแสดงแบบรูปของสำนวนแม่เหล็ก และการกระจายในลักษณะ 3 มิติของ  $H_x$  ตามลำดับ ที่  $k_0t = 16.0$  ในโนม  $E'_{11}$ ,  $E'_{21}$  และ  $E'_{31}$  โดยกำหนดให้ขนาดสูงสุดของสำนวนแม่เหล็กบนภาคตัดขวางของท่อน้ำคัลลี่มีค่าเท่ากับ 1

รูปที่ 4.2 เป็นการแสดงถึงลักษณะของเส้นเร่งแม่เหล็กที่พิจารณาในระบบแกน x และ y จะเห็นได้ว่าลักษณะของเส้นเร่งแม่เหล็กมีทิศพุ่งไปในทิศเดียวกัน และมีความหนาแน่นของเส้นเร่งแม่เหล็กสูงที่กึ่งกลางของตัวนำเพียงจุดเดียว เมื่อนำลักษณะโดยรวมของเส้นเร่งแม่เหล็กนี้มาplot ในลักษณะที่เป็น 3 มิติจะได้ดังรูปที่ 4.3

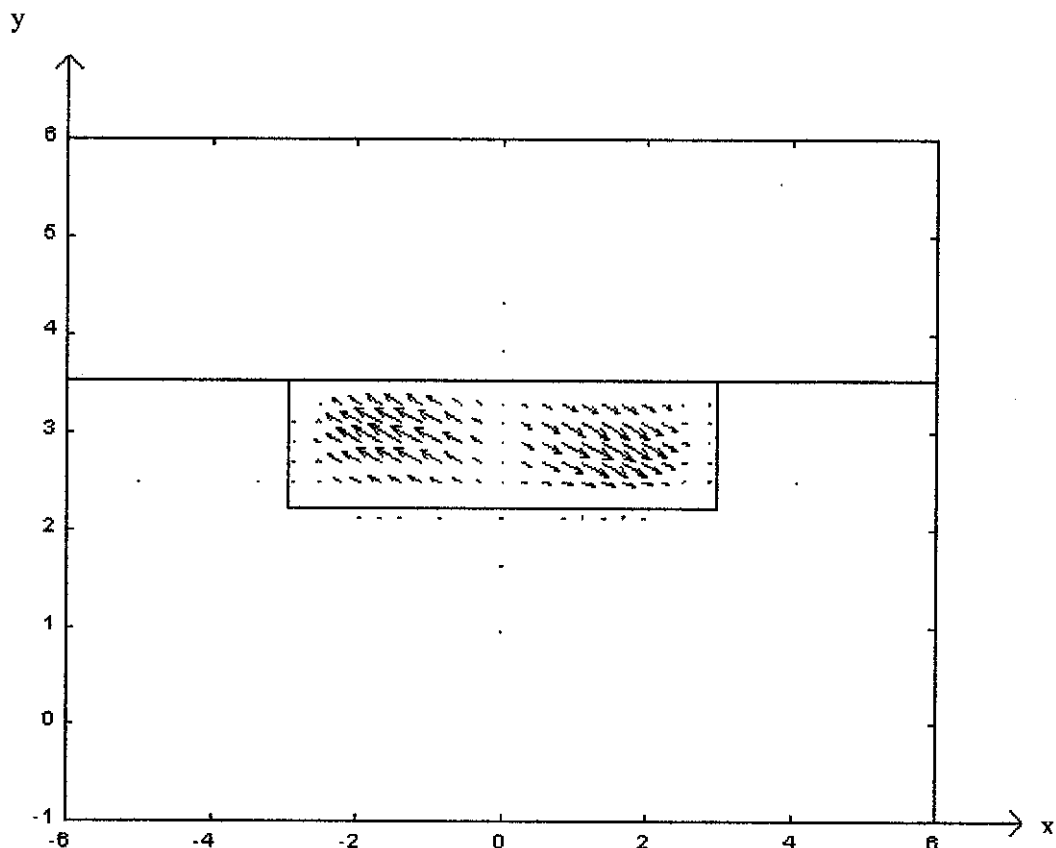


รูป 4.2 แสดงสนามแม่เหล็กในไมด  $E_{11}^{\gamma}$

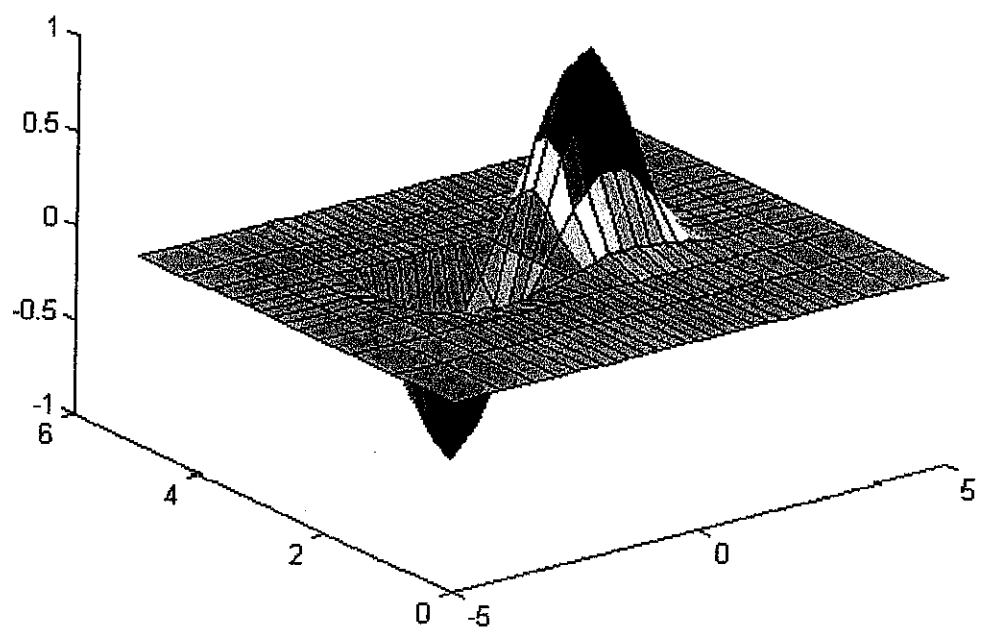


รูป 4.3 สนามแม่เหล็กการกระจายในลักษณะ 3 มิติในโมด  $E_{11}^y$

รูปที่ 4.4 เป็นการแสดงลักษณะของเส้นแรงแม่เหล็กที่พิจารณาในระบบแกน x และ y จะเห็นได้ว่าลักษณะของเส้นแรงแม่เหล็กมีทิศพุ่งเข้าและพุ่งออก เนื่องจากมีการสะท้อนของคลื่นเกิดขึ้นในตัวนำ ทำให้มีความหนาแน่นของเส้นแรงแม่เหล็กสูง 2 ถูก เมื่อนำลักษณะโดยรวมของเส้นแรงแม่เหล็กนี้มาplot ในลักษณะที่เป็น 3 มิติจะได้ดังรูปที่ 4.5

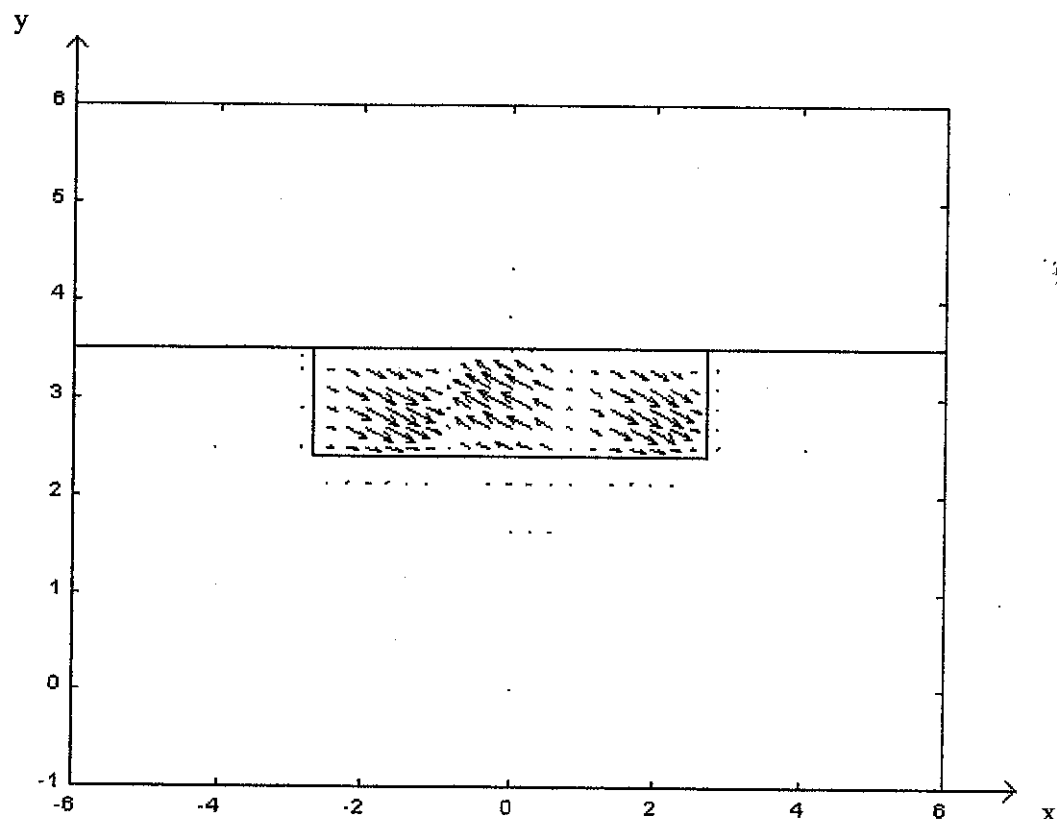


รูป 4.4 แสดงสนามแม่เหล็กในไมด  $E_{21}^Y$

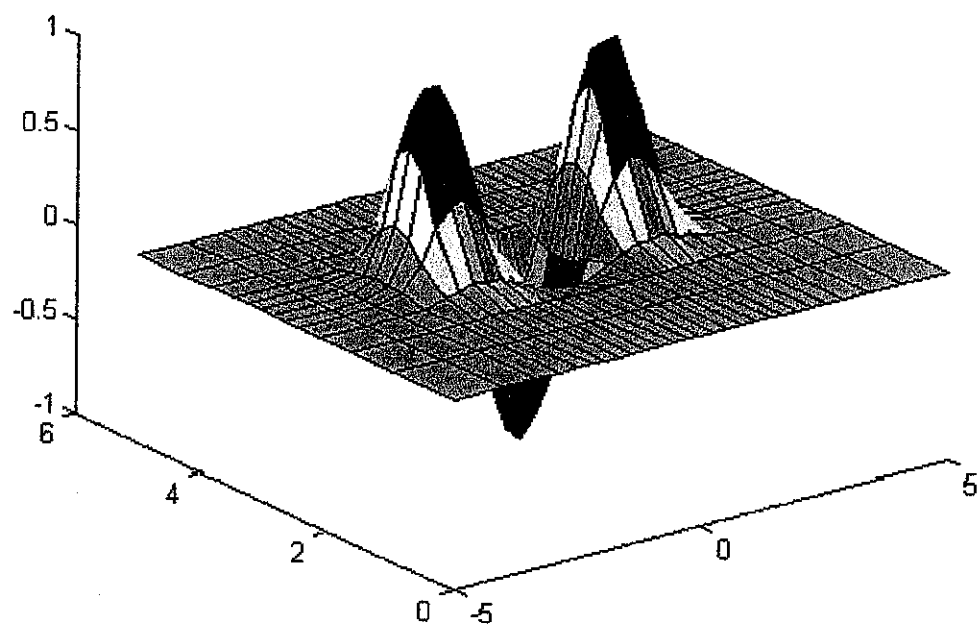


รูป 4.5 สถานะแม่เหล็กการกระจายในลักษณะ 3 มิติในโมด  $E_{21}^y$

รูปที่ 4.6 เป็นการแสดงถึงลักษณะของเส้นแรงแม่เหล็กที่พิจารณาในระนาบแกน x และ y จะเห็นได้ว่าลักษณะของเส้นแรงแม่เหล็กมีทิศพุ่งเข้าและพุ่งออก เนื่องจากมีการสะท้อนของคลื่นเกิดขึ้นในตัวนำ ทำให้มีความหนาแน่นของเส้นแรงแม่เหล็กสูง 3 จุด เมื่อนำลักษณะโดยรวมของเส้นแรงแม่เหล็กนี้มาลดลงในลักษณะที่เป็น 3 มิติจะได้ดังรูปที่ 4.7



รูป 4.6 แสดงสถานะแม่เหล็กในโมด  $E_{31}^y$



รูป 4.7 สนามแม่เหล็กการกระจายในลักษณะ 3 มิติในไมค์  $E_{31}^{\gamma}$